УДК 541.121.34:537.722:536.782

ХИМИЯ

## А. Н. КРЕСТОВНИКОВ, Е. М. СОЛОПАЙ, В. Б. УФИМЦЕВ ТЕРМОДИНАМИЧЕСКИЕ СВОЙСТВА ТВЕРДЫХ РАСТВОРОВ InAs — GaAs

(Представлено академиком С. И. Вольфковичем 9 VI 1972)

В настоящее время установлено, что большинство полупроводниковых соединений типа  $A^{\rm III}B^{\rm V}$  образуют между собой непрерывный ряд твердых растворов (1, 2). При этом для таких растворов или соблюдается закон Вегарда, или отклонения от него весьма незначительны. Учитывая это, можно считать, что

$$a = a_1^0 N_1 + a_2^0 N_2,$$

где a — нараметр решетки твердого раствора,  $a_1^{\,0}$ ,  $a_2^{\,0}$  и  $N_1$ ,  $N_2$  — нараметры решетки и молярные доли соответствующих компонентов.

Переходя к молярным объемам, будем иметь

$$v = v_1^0 N_1 + v_2^0 N_2$$
.

Отсюда изменение объема при образовании раствора

$$\Delta v^{\text{cm}} = 0.$$

и в первом приближении можно предполагать, что такой раствор является идеальным (совершенным), для которого должны выполняться следующие требования:  $\Delta H^{\rm cm} = 0, \ \Delta S^{\rm cm} = -R \left( N_1 \ln N_1 + N_2 \ln N_2 \right), \ {\rm rge} \ \Delta H^{\rm cm}$  и  $\Delta S^{\rm cm} -$  изменение энтальпии и энтропии при образовании раствора.

Термодинамический анализ диаграмм состояния типа  $A^{\rm III}B^{\rm V}-A^{\rm III}B^{\rm V}$  проводился в работах (3-5). При этом авторы использовали уравнения кривых фазового равновесия, выведенные в приближении регулярных растворов, для бинарных систем (6). Вычисленные по этим уравнениям значения энергии смешения (V) лежат для большинства систем  $A^{\rm III}B^{\rm V}-A^{\rm III}B^{\rm V}$  в интервале 2000-5000 кал/моль и имеют положительный знак, что позволяет предположить наличие положительного отклонения от идеальных растворов, учитывая, что для регулярных растворов

$$\Delta H^{\text{cm}} = \Delta G^{\text{m36}} \approx V N_1 N_2$$
.

где  $\Delta G^{\text{изб}}$  — интегральная избыточная свободная энергия Гиббса, V — энергия смешения (величина, не зависящая от концентрации). Однако такой подход, позволяя аналитически описать линии фазового равновесия, не дает возможности однозначно судить о типе раствора, так как кристаллическая решетка твердого раствора  $A^{\text{III}}B^{\text{V}} - A^{\text{III}}B^{\text{V}}$  (с общим элементом иятой группы) состоит из двух подрешеток — катионной, узлы которой заняты атомами элемента  $A^{\text{III}}$ , и анионной, содержащей только атомы элемента  $B^{\text{V}}$ . В таких растворах парциальные молярные характеристики компонента  $B^{\text{V}}$  не зависят от его концентрации (она постоянна и равна 50 ат.%), а зависят от соотношения между элементами третьей группы. Поэтому для полного описания характера взаимодействия компонентов в твердых растворах типа  $A^{\text{III}}B^{\text{V}} - A^{\text{III}}B^{\text{V}}$  необходимы прямые термодинамические исследования.

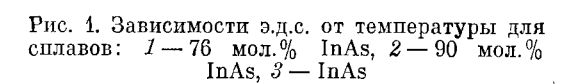


Рис. 2. Зависимости э.д.с. от температуры для сплавов: 1— GaAs, 2—90 мол.% GaAs, 3—80 мол.% GaAs, 4—70 мол.% GaAs

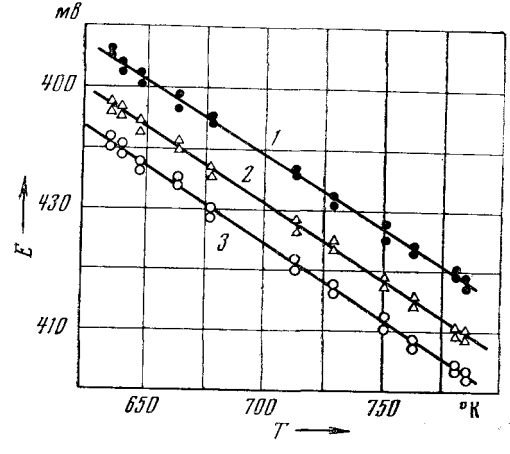


Рис. 1

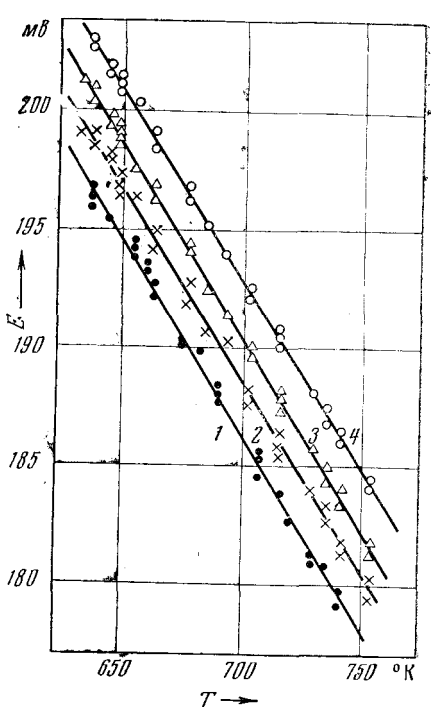


Рис. 2

В данной работе было проведено исследование термодинамических свойств твердых растворов InAs-GaAs методом э.д.с. (7). При этом авторы учитывали, что использование этого метода в обычном варианте с жидким электролитом в H-образных ячейках ( $^{8-10}$ ) при близких значениях электродных потенциалов (In-0.83 в, Ga-0.88 в) не позволяет провести измерения во всем интервале составов. Поэтому измерение э.д.с. приводилось в гальванических элементах, собранных по следующим схемам.

Для сплавов, содержащих 70, 80 и 90 мол. % GaAs,

$${}^{-}\mathrm{Ga}_{_{\mathsf{JK}}} \bigm| \mathrm{GaCl}_3, \ (\mathrm{LiCl-KCl})_{_{\mathrm{BBT}}} \bigm| (\mathrm{Ga}_{_{\mathfrak{T}}}^{\mathrm{w}}\mathrm{In}_{1-x}^{\mathrm{w}}\mathrm{As})_{\mathrm{TB}_{\bullet}}^{+}$$

Для сплавов, содержащих 76 и 90 мол. % InAs,

$$-\operatorname{In}_{\mathbb{R}} | \operatorname{InCl}, (\operatorname{LiCl-KCl})_{\partial \mathbb{B}^{\mathrm{T}}} | (\operatorname{Ga}_{x}^{\mathbb{S}} \operatorname{In}_{1-x} \operatorname{As})_{\mathbb{T}^{\mathrm{B}}}^{+}$$

Предполагалось, что в сплавах, лежащих близко к ординатам соединений, где концентрация и активность одного из компонентов значительно больше таковых для второго, становится возможным преимущественный переход в раствор ионов одного вида.

Методика измерения и конструкции ячейки принципиально не отличались от ранее применявшихся при измерении э.д.с. соединений InAs и GaAs ( $^9$ ,  $^{10}$ ) за исключением того, что электрод-металл помещался в отдельный сосуд, сообщающийся с общим объемом ячейки отверстием d=1-1,5 мм; в этот же сосуд добавлялась и соль потенциалообразующего пона. Электрод-сплав находился в основном объеме ячейки.

Твердые растворы InAs — GaAs были получены методом зонного выравнивания во встречных направлениях, а состав растворов определялся методами рентгенофазового и локального рентгеноспектрального анализа.

Результаты измерения температурной зависимости э.д.с. для твердых растворов InAs — GaAs представлены на рис. 1 и 2. Экспериментальные данные обрабатывались методом наименьших квадратов; доверительные

Коэффициенты уравнений температурной зависимости э.д.с. гальванических элементов на основе твердых растворов JnAs — GaAs;  $E=(at+b)\pm\delta$ 

Концентрация GaAs, мол.%	Температурный интервал измерений, °С	— a	b	δ
100 90 80 70 24 10 0 (InAs)	365—468 363—480 363—480 362—512 362—512 362—512	$ \begin{array}{c} (0,1660\pm0,0032) \\ (0,1642\pm0,0009) \\ (0,1637\pm0,0032) \\ (0,1619\pm0,0008) \\ (0,2446\pm0,0068) \\ (0,2482\pm0,0060) \\ (0,2521\pm0,0019) \end{array} $	302,43±5,43 303,37±2,00 304,92±2,19 306,03±1,181 610,48±4,86 604,84±4,35 601,20±3,92	$\begin{array}{c} \pm 1,6 \\ \pm 0,61 \\ \pm 0,67 \\ \pm 0,56 \\ \pm 1,77 \\ \pm 1,58 \\ \pm 1,43 \end{array}$

Таблица 2
Расчетные парциальные молярные характеристики компонентов системы InAs — GaAs

Концентра- цин GaAs, мол. %	–ΔGGaAs	—∆HGaAs	—Δ≅GaAs	∆Gu36 *	YGaAs	—∆G <sub>InAs</sub>	$-\Delta \overline{H}_{InAs}^{cm}$	—∆SInAs		YInAs
90 80 70 24 10	150 290 450	70 180 250 —	0,120 0,160 0,280	15 30 50 —	1,01 1,02 1,04 —	2960 2100 1600 340 150	1620 1110 890 220 90	1,91 1,39 1,02 0,17 0,090	240 140 70 40 15	1,20 1,10 1,05 1,03 1,01

<sup>\*</sup> Выражено в кал/моль.

интервалы уравнения E=aT+b определялись с помощью критерия Стьюдента по отклонениям и квадратам отклонений экспериментальных точек от расчетных.

В табл. 1 приведены коэффициенты уравнений температурной зависимости э.д.с. соединений и сплавов по данным настоящей работы п работ (9, 10),

Значение энтальнии образования InAs, получение из данных настоящей работы  $\Delta H_{298}=12{,}82$  ккал / моль, ближе к данным калориметрических исследований (11)  $\Delta H_{298}^0=14{,}8$  ккал/моль и потому предпочтительнее.

Из данных температурной зависимости э.д.с. сплавов и соединений были рассчитаны парциальные молярные свободные энергии, теплоты и энтропии смешения по уравнениям:

$$\begin{split} &\Delta \overline{G}_2^{\text{cm}} = -\,z_2 F\, [\, (a-a^0)\, T + (b-b^0)\,] \quad \text{ккал/моль,} \\ &\Delta \overline{H}_2^{\text{cm}} = \frac{\partial \left(\Delta \overline{G}_2^{\text{cm}}/T\right)}{\partial \left(1/T\right)} = -\,z_2 F\, (b-b^0) \quad \text{ккал/моль,} \\ &\Delta \overline{S}_2^{\text{cm}} = -\,\frac{\partial \Delta \overline{G}_2^{\text{cm}}}{\partial T} = z_2 F\, (a-a^0) \quad \text{кал/моль} \cdot \text{град,} \end{split}$$

где a, b — коэффициенты уравнений температурной зависимости э.д.с. сплавов,  $a^{0}, b^{0}$  — коэффициенты уравнений температурной зависимости э.д.с. соединений.

В табл. 2 приведены парциальные молярные характеристики первого и второго компонентов системы InAs—GaAs для температуры 700° К. Расчет парциальных характеристик второго компонента по уравнению Гиббса —

Дюгема в данном случае связан со значительной ошибкой из-за отсутствия экспериментальных значений для широкой области концентраций. Поэтому для качественной оценки таких данных расчеты произведены только для сплавов, обогащенных арсенидом галлия.

Как можно видеть, твердые растворы InAs — GaAs характеризуются незначительным положительным отклонением, связанным с существенным понижением энтропии при образовании раствора. В то же время различие в знаке и величине значений  $\Delta \overline{H}^{\rm cm}$  и  $\Delta \overline{G}^{\rm ns6}$  показывает, что данные растворы не могут быть отнесены к регулярным.

Московский институт стали и сплавов

Поступило 31 V 1972

## ЦИТИРОВАННАЯ ЛИТЕРАТУРА

<sup>1</sup> Н. А. Горюнова, Химия алмазоподобных полупроводниковых, Л., 1963. <sup>2</sup> Сбори. Полупроводниковые соединения А<sup>ПІВV</sup> (под ред. Р. Виллардсона и Х. Гёринга), 1967. <sup>3</sup> Г. В. Никитина, В. Н. Романенко, Изв. АН СССР, Металлургия и горпое дело, 6, 156 (1964). <sup>4</sup> В. В. Раков, В. В. Уфимцев, ЖФХ, 43, 493 (1969). <sup>5</sup> В. Б. Уфимцев, В. П. Шумилин и др., ДАН, 193, 602 (1970). <sup>6</sup> Д. С. Каменецкая, Сбори. Проблемы металловедения и физики металлов, 1949, стр. 113. <sup>7</sup> Я. И. Герасимов, ЖФХ, 41, 2441 (1967). <sup>6</sup> А. С. Аббасов, А. В. Никольская, Я. И. Герасимов, ДАН, 156, № 1, 118 (1964). <sup>9</sup> А. С. Аббасов, Кандидатская диссертация МГУ, 1964. <sup>10</sup> А. Н. Крестовников, В. Б. Уфимцев, Е. М. Солопай, ЖФХ, 45, 10 (1971).